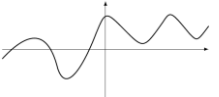
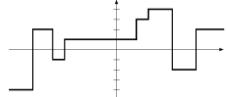
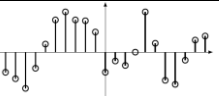
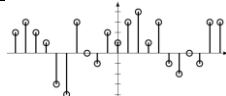


SigSys I Zusammenfassung

Andreas Biri, D-ITET

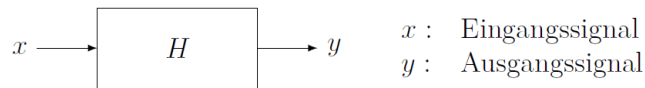
12.01.14

1. Einteilung der Signale

Zeit	kontinuierlich	diskret
Amplitude		
Kontinuierlich		
diskret		

Zeit- & amplitudendiskret -> digital

2. Systemeigenschaften



Linearität

Homogenität: $H(\alpha x) = \alpha Hx$

Additivität: $H(x_1 + x_2) = Hx_1 + Hx_2$

Nullraum

$$N(H) = \{x \in X : Hx = 0\}$$

Bildraum

$$R(H) = \{y = Hx : x \in X\}$$

Superposition

$$H(\alpha_1 x_1 + \alpha_2 x_2 + \dots + \alpha_n x_n) = \alpha_1 Hx_1 + \dots + \alpha_n Hx_n$$

Achtung: gilt bei unendliche Summe nur bei stetiger Funktion!

Stetigkeit dann und nur dann, wenn

$$H\left(\sum_{i=1}^{\infty} \alpha_i x_i\right) = \sum_{i=1}^{\infty} \alpha_i Hx_i$$

Zeitinvarianz

zeitliche Verschiebung am Eingang führt zu einer ebenso grossen zeitlichen Verschiebung am Ausgang

$$H(x(\cdot - \tau)) = (Hx)(\cdot - \tau) \quad \tilde{x}(t) = x(t - \tau) \rightarrow y(t - \tau)$$

Kausalität

Ausgangssignal hängt ausschliesslich von vergangenen und/oder momentanen Werten ab

$$x_1(t) = x_2(t) \forall t \leq T \rightarrow (Hx_1)(t) = (Hx_2)(t) \forall t \leq T$$

BIBO-Stabilität

bounded input \rightarrow bounded output

3. LTI-Systeme im Zeitbereich

$$y(t) = \int_{-\infty}^{\infty} x(\tau) h(t - \tau) d\tau = x * h$$

Impulsantwort: $h(t) = (H\delta)(t), \quad \delta(t) = \begin{cases} \infty, & t = 0 \\ 0, & t \neq 0 \end{cases}$

Sprungantwort: $(h * \sigma) = \int_{-\infty}^{\infty} h(\tau) \sigma(t - \tau) d\tau = \int_{-\infty}^t h(\tau) d\tau$

Faltungseigenschaften

Kommutativ: $x_1 * x_2 = x_2 * x_1$

Assoziativ: $(x_1 * x_2) * x_3 = x_1 * (x_2 * x_3)$

Distributiv: $x_1 * (x_2 + x_3) = x_1 * x_2 + x_1 * x_3$

Graphische Faltung

1. $h(\tau)$ spiegeln um $\tau = 0$

2. gespiegeltes $h(\tau)$ verschieben nach $\begin{cases} \text{rechts,} & t > 0 \\ \text{links,} & t < 0 \end{cases}$

3. verschobenes $h'(\tau)$ mit $x(\tau)$ multiplizieren

4. Integrieren (benütze, dass oft $h'(\tau) * x(\tau) = 0$)

Zeitinvarianz

$\exists h \Rightarrow$ LinearTimeInvariant – System \Rightarrow zeitinvariant

Kausalität bei LTI-System, wenn

$$h(t) = 0 \quad \forall t < 0$$

Stabilität

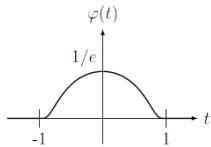
$$h \in L^1, \text{ d.h. } \int_{-\infty}^{\infty} |h(t)| dt < \infty \rightarrow \text{BIBO – stabil}$$

4. Verallgemeinerte Funktionen

Testfunktion

$$x(\xi) = \int_a^b x(t) \varphi(t) dt, \quad \xi \in [a, b]$$

Eichvorschrift: $\int_a^b \varphi(t) dt = 1$



Funktional (S.24)

$$l_x(\varphi) = \int_{-\infty}^{\infty} x(t) \varphi(t) dt$$

regulär: $\exists x(t)$ stückweise stetig, s. d. $l_x(\varphi) = l(\varphi)$

singulär: sonst

$$(l + \tilde{l})(\varphi) = l(\varphi) + \tilde{l}(\varphi) \rightarrow l_{x_1 + x_2}(\varphi) = l_{x_1}(\varphi) + l_{x_2}(\varphi)$$

$$l_{\alpha x}(\varphi) = (\alpha l_x)(\varphi) = \alpha l_x(\varphi) \rightarrow (\alpha l)(\varphi) = \alpha l(\varphi)$$

$$l_{x_1 x_2}(\varphi) = \int_{-\infty}^{\infty} x_1(t) x_2(t) \varphi(t) dt = l_{x_1}(x_2 \varphi) \rightarrow (xl)(\varphi) = l(x\varphi)$$

$$(l \circ g)(\varphi) = \frac{1}{|a|} l\left(\varphi\left(\frac{t-b}{a}\right)\right) \quad \text{für } g(t) = a * t + b$$

Gerade verallgm. F.: $\forall \varphi: l(\varphi) = l(\vartheta), \text{ mit } \vartheta(t) = \varphi(-t)$

Ungerade ver. F.: $\forall \varphi: l(\varphi) = -l(\vartheta), \text{ mit } \vartheta(t) = \varphi(-t)$

Deltafolge

$$\delta_n(t) = \begin{cases} \geq 0, & t \in I_n = [a_n, b_n], \\ = 0, & t \notin I_n \end{cases}, \quad \int_{-\infty}^{\infty} \delta_n(t) dt = 1$$

Deltafunktion

$$l_\delta(\varphi) = \int_{-\infty}^{\infty} \delta(t) \varphi(t) dt = \varphi(0)$$

Rechenregeln

Eichvorschrift: $\int_{-\infty}^{\infty} \delta(t) dt = 1$

Produkt: $x(t)\delta(t) = x(0)\delta(t)$

Siebeigenschaft: $\int_{-\infty}^{\infty} \delta(t - t_0) \varphi(t) dt = \varphi(t_0)$
 $(\delta * h)(t) = h(t)$

Verschiebung: $\delta(at + b) = \frac{1}{|a|} \delta\left(t + \frac{b}{a}\right)$

Gerade Funktion: $\delta(t) = \delta(-t)$, $\delta(t - t_0) = \delta(t_0 - t)$

Faltung verallgemeinerter Funktionen

$$(l_{x_1} * l_{x_2})(\varphi) = l_{x_1}(x_2(-\cdot) * \varphi)$$
$$(x * \varphi)(t) = l_x(\varphi(t - \cdot)) = l_x(\varphi_t)$$

$$(l_\delta + l_x) = l_x(\varphi) \rightarrow (\delta * x)(t) = x(t)$$

Differentiation verallgemeinerter Funktionen (S.32)

$$Dl_x(\varphi) = l_{x'}(\varphi) = -l_x(\varphi')$$

$$Dl(\varphi) = l'(\varphi) = -l(\varphi')$$

Produktregel: $(xl)'(\varphi) = x'l(\varphi) + xl'(\varphi)$

Additivität: $(l + \tilde{l})'(\varphi) = l'(\varphi) + \tilde{l}'(\varphi)$

$$D^n l(\varphi) = l^{(n)}(\varphi) = (-1)^n l(\varphi^{(n)})$$

$$D^n l_x(\varphi) = l_{x^{(n)}}(\varphi)$$

$$Dx(t) = x'(t) + (x(t_0^+) - x(t_0^-)) \delta(t - t_0)$$

Deltafunktional: $l'_\delta(\varphi) = -\varphi'(0)$

Sprungfunktion: $D\sigma(t) = \delta(t)$

5. LTI-Systeme im Frequenzbereich

LTI-System mit absolut integrierbarer Impulsantwort (S.37)

→ stationärer Zustand aus Einschaltvorgang eines sinusförmigen Eingangssignals

$$y(t) \xrightarrow{t \rightarrow \infty} \hat{h}(f) e^{2\pi i f t}$$

Fouriertransformation

$$\hat{x}(f) = (Fx)(f) = \int_{-\infty}^{\infty} x(t) e^{-2\pi i f t} dt$$

$$x(t) = (F^{-1}\hat{x})(t) = \int_{-\infty}^{\infty} \hat{x}(f) e^{2\pi i f t} df$$

Rechenregeln

$$\int_{-\infty}^{\infty} x(u) \hat{\varphi}(u) du = \int_{-\infty}^{\infty} \hat{x}(u) \varphi(u) du$$
$$l_x(F\varphi) = l_{Fx}(\varphi)$$

$$F l(\varphi) = l(F\varphi)$$

$$F^{-1} l(\varphi) = l(F^{-1}\varphi)$$

$$(F^2 x)(f) = x(-f)$$

$$((F^{-1})^2 \hat{x})(t) = \hat{x}(-t)$$

$$F x' = 2\pi i f \hat{x}$$

$$(F(x * y))(f) = \hat{x}(f) \hat{y}(f)$$

Sprungfunktion transformiert

$$\delta(t) = F1 = \int_{-\infty}^{\infty} e^{2\pi i f t} df \leftrightarrow F^{-1}\delta = \int_{-\infty}^{\infty} \delta(f) e^{2\pi i f t} df = 1$$

Periodische Signale an LTI-Systemen

$$x(t) = \sum_{k=-\infty}^{\infty} c_k e^{2\pi i k t / T} \rightarrow y(t) = \sum_{k=-\infty}^{\infty} c_k \hat{h}\left(\frac{k}{T}\right) e^{2\pi i k t / T}$$

Poisson'sche Summenformel

$$\sum_{k=-\infty}^{\infty} h(t - kT) = \frac{1}{T} \sum_{k=-\infty}^{\infty} \hat{h}\left(\frac{k}{T}\right) e^{2\pi i k t / T}$$

Anwendung der Fouriertransformation auf LTI-Systeme

Absolut integrierbar: $|\hat{h}(f)| \leq \int_{-\infty}^{\infty} |h(t)| dt$, $\lim_{|f| \rightarrow \infty} \hat{h}(f) = 0$

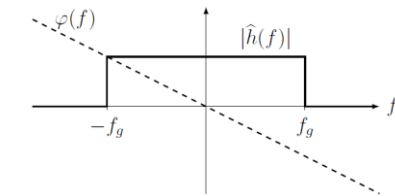
Riemann-Lebesgue: \hat{h} unstetig $\rightarrow h \notin L^1 \rightarrow$ NICHT BIBO – stabil

Verzerrungsfreies System (formgetreue Übertragung)

$$y(t) = k x(t - t_0); \quad h(t) = k \delta(t - t_0)$$

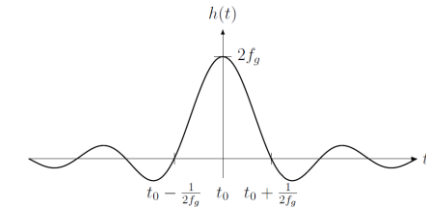
Idealisierter Tiefpass (S.46)

Frequenzgang



$$|\hat{h}(f)| = \begin{cases} 1, & |f| \leq f_g \\ 0, & \text{sonst} \end{cases}$$
$$\varphi(f) = -2\pi f t_0$$

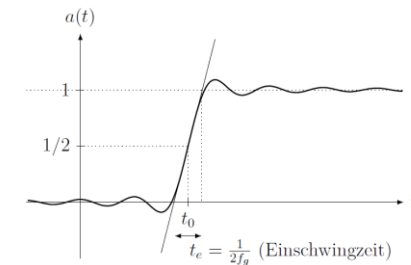
Impulsantwort



$$h(t) = 2f_g \frac{\sin(2\pi f_g(t - t_0))}{2\pi f_g(t - t_0)}$$

System ist weder kausal noch BIBO-stabil ($H(f)$ ist unstetig)

Sprungantwort



Tangente mit maximaler Steigung $2f_g$ bei $t = t_0$

- maximale Steigung ist proportional zur Grenzfrequenz

- Tiefpass mit höherer Grenzfrequenz kann Signaländerung schneller folgen

Kausal machen: $h(t)$ nach rechts verschieben und für $t < 0$ zu Null setzen

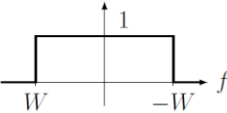
Stabil machen: Kanten von $h(t)$ abschrägen, dh. falten mit Rechteck

Bandbegrenzte Signale (S.48)

Bandbreite von x ist kleinstes W , s.d.

$$(x * h_{TP,W})(t) = x(t) \quad \forall t$$

$$\hat{x}(f) \hat{h}_{TP,W}(f) = \hat{x}(f) \quad \forall f$$

$$\hat{h}_{TP,W}(f) = \begin{cases} 1, & |f| \leq W \\ 0, & \text{sonst.} \end{cases}$$


Bernstein-Ungleichung

Signale mit kleiner Bandbreite nur langsame Änderungen im Zeitbereich

$$x(t) = \int_{-W}^W g(f) e^{2\pi i f t} df, g \in L^1 \Rightarrow \left| \frac{dx(t)}{dt} \right| \leq 4\pi W \max_{\tau \in \mathbb{R}} |x(\tau)|$$

6. Abtasttheoreme

Periodisches Signal

$$x(t) = \sum_{k=-\infty}^{\infty} c_k e^{2\pi i k t / T}, \quad c_k = \frac{1}{T} \int_0^T x(t) e^{-2\pi i k t / T} dt$$

$$\hat{x}(f) = \sum_{k=-\infty}^{\infty} c_k \delta\left(f - \frac{k}{T}\right), \quad f_0 = \frac{1}{T}$$

Abtastung (S.52)

Zeitliches Abtasten ergibt ein periodisches Spektrum, das durch periodische Wiederholung des ursprünglichen Spektrums $F(f)$ entsteht

im Zeitbereich

$$x(t) \cdot \delta_T(t) = \sum_{k=-\infty}^{\infty} x(kT) \cdot \delta(t - kT)$$

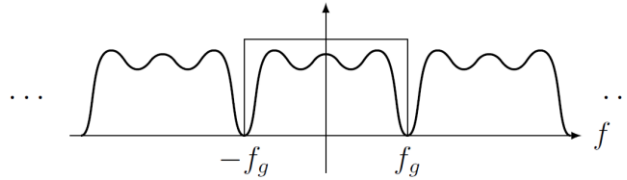
$$(F(x \cdot \delta_T)) = \frac{1}{T} \sum_{k=-\infty}^{\infty} \hat{x}\left(f - \frac{k}{T}\right)$$

Im Spektrum/Frequenzbereich

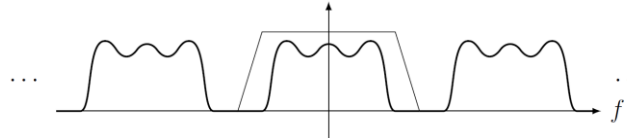
$$\hat{x}_s(f) = \hat{x}(f) \sum_{k=-\infty}^{\infty} \delta\left(f - \frac{k}{T}\right) = \sum_{k=-\infty}^{\infty} \hat{x}\left(\frac{k}{T}\right) \delta\left(f - \frac{k}{T}\right)$$

$$x_s(t) = T \cdot \left(x * \sum_{k=-\infty}^{\infty} \delta(\cdot - kT) \right)(t) = T \sum_{k=-\infty}^{\infty} x(t - kT)$$

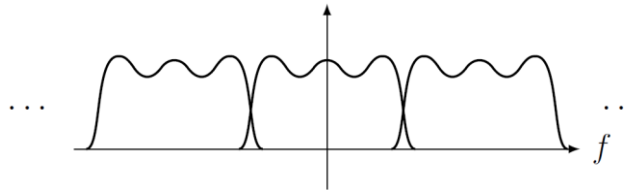
Kritische Abtastung : $f_s = 2 f_g$ (Nyquist)



Überabtastung : $f_s > 2 f_g$



Unterabtastung : $f_s < 2 f_g$ (Aliasing)



Rekonstruktion mit idealem Tiefpassfilter

H_{TP} : Grenzfrequenz f_g , Amplitude T

Shanon-Theorem

Ein f_g -bandbegrenzte Signal kann aus seinen Abtastwerten eindeutig rekonstruiert werden, falls $f_s \geq 2 f_g$.

Abtastfrequenz : $f_s = \frac{1}{T}$

Nyquist-Rate: $f_s = 2 f_g$

Rekonstruktion möglich, falls $x(t) = 0 \quad \forall |t| > \frac{T}{2}$

Interpretation als Interpolation (S.55)

$$y(t) = x(t) = \sum_{k=-\infty}^{\infty} x(kT) \frac{\sin\left(\frac{\pi}{T}(t - kT)\right)}{\frac{\pi}{T}(t - kT)}$$

7. Zeitdiskrete Signale & Systeme

$$\hat{x}_d(\theta) = \sum_{l=-\infty}^{\infty} x_d[l] e^{-2\pi i l \theta} = \frac{1}{T} \sum_{k=-\infty}^{\infty} \hat{x}\left(\frac{\theta - k}{T}\right)$$

Zeitdiskrete Fouriertransformation

$$\hat{x}_d(\theta) = \sum_{n=-\infty}^{\infty} x_d[n] e^{-2\pi i n \theta}, \quad \theta = f T = \frac{f}{f_s} \in [0,1]$$

Rücktransformation:

$$x_d[n] = \int_0^1 \hat{x}_d(\theta) e^{2\pi i n \theta} d\theta$$

Zeitdiskretes System ist LTI, falls

Linearität: $H(x_1 + x_2) = Hx_1 + Hx_2$, $H(\alpha x) = \alpha Hx$

Zeitinvarianz: $H(x[\cdot - n_0]) = (Hx)[\cdot - n_0]$

Impulsantwort

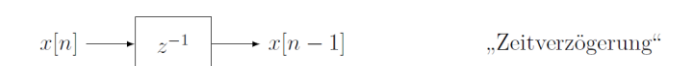
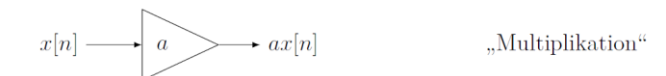
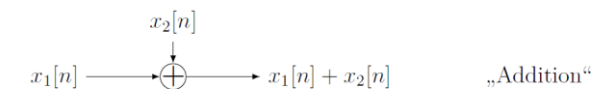
$$x[n] = \sum_{k=-\infty}^{\infty} x[k] \delta[n - k], \quad \delta[n] = \begin{cases} 1, & n = 0 \\ 0, & \text{sonst} \end{cases}$$

$$y[n] = \sum_{k=-\infty}^{\infty} x[k] h[n - k]$$

Differenzengleichung (S.60)

$$\sum_{k=0}^N a_k y[n - k] = \sum_{m=0}^M b_m x[n - m]$$

$$y[n] = \sum_{k=1}^N -\frac{a_k}{a_0} y[n - k] + \sum_{m=0}^M \frac{b_m}{a_0} x[n - m]$$



8. Diskrete Fouriertrafo (DFT)

Für ein Signal der Länge **N** muss das Spektrum **N** mal abgetastet werden

$$\hat{x}\left(\frac{k}{N}\right) = \sum_{n=0}^{N-1} x[n] e^{-2\pi i k n / N} \triangleq \hat{x}[k], \quad k = 0, 1, \dots, N-1$$

DFT- Matrix: $[F_N]_{k,n} = \omega_N^{kn}$

$$\underbrace{\begin{bmatrix} \hat{x}[0] \\ \hat{x}[1] \\ \vdots \\ \hat{x}[N-1] \end{bmatrix}}_{\hat{\mathbf{x}}} = \underbrace{\begin{bmatrix} 1 & 1 & \dots & 1 \\ 1 & \omega_N & \omega_N^2 & \dots & \omega_N^{N-1} \\ 1 & \omega_N^2 & \omega_N^4 & \dots & \omega_N^{2(N-1)} \\ \vdots & \vdots & \vdots & \ddots & \vdots \\ 1 & \omega_N^{N-1} & \omega_N^{2(N-1)} & \dots & \omega_N^{(N-1)^2} \end{bmatrix}}_{F_N} \underbrace{\begin{bmatrix} x[0] \\ x[1] \\ \vdots \\ x[N-1] \end{bmatrix}}_{\mathbf{x}}, \quad \omega_N = e^{-2\pi i / N}$$

$$F_N^H F_N = N I_N = F_N F_N^H$$

Diskrete Fouriertransformation (DFT)

$$\hat{x}[k] = \sum_{n=0}^{N-1} x[n] e^{-2\pi i k n / N}, \quad \hat{x}[k+N] = \hat{x}[k]$$

$$x[n] = \frac{1}{N} \sum_{k=0}^{N-1} \hat{x}[k] e^{2\pi i k n / N}, \quad x[n+N] = x[n]$$

$$\hat{\mathbf{x}} = F_N \mathbf{x}, \quad \mathbf{x} = \frac{1}{N} F_N^H \hat{\mathbf{x}}$$

Zyklische Faltung

$$x_3[l] = \sum_{n=0}^{N-1} x_1[n] x_2[l-n], \quad \hat{x}_3[k] = \hat{x}_1[k] \hat{x}_2[k]$$

Lineare Faltung -> Zyklischer Faltung (S.66)

1. Zero-padding : Auffüllen der Signale auf $N \geq P + L - 1$
2. Berechnen der N-Punkt DFTs, d.h. \hat{x}_1 u. \hat{x}_2
3. Berechnen des Produkts $\hat{x}_3[k] = \hat{x}_1[k] \hat{x}_2[k]$
4. Inverse DFT, wobei Signale periodisch

$$\rightarrow \tilde{x}_3[l] = \sum_{n=0}^{N-1} \tilde{x}_1[n] \tilde{x}_2[l-n]$$

9. Fast Fourier Transformation (FFT)

Komplexitäten

Faltung direkt: $O(N^2)$

DFT: $O(N^2)$

FFT: $O(N \cdot \log N)$

Cooley & Tukey: max. Komplexität von $4 N \log_2(N)$

Idee: „Divide et impera“ : $n = \log N$ mal halbieren

10. Hilberträume

Hilbertraum: linearer Raum, der mit einem inneren

Produkt ausgestattet und vollständig ist

ONS: Orthonormalsystem

Abtastreihe (S.79)

Raum der $2 f_g$ - bandbegrenzten Signale:

$$x(t) = \sum_{k=-\infty}^{\infty} x(kT) \frac{\sin\left(\frac{\pi}{T} (t - kT)\right)}{\frac{\pi}{T} (t - kT)}$$

Dann bilden folgende Funktionen ein ONS:

$$\phi_l(t) = \frac{1}{\sqrt{T}} \frac{\sin\left(\frac{\pi}{T} (t - lT)\right)}{\frac{\pi}{T} (t - lT)} = \sqrt{T} \frac{\sin\left(\frac{\pi}{T} (t - lT)\right)}{\pi (t - lT)}$$

10. Good to know / Verschiedenes

Laplace

$$Y(s) = H(s) * X(s)$$

Sin / cos

$$\sin(z) = \frac{e^{iz} - e^{-iz}}{2i}$$

$$\cos(z) = \frac{e^{iz} + e^{-iz}}{2}$$

$$e^{iz} = \cos(z) + i * \sin(z)$$

Verschiedenes

$$y[n] = \sum_{k=-\infty}^n x[k] = x[n] + x[n-1] + \dots$$

$$h(t) = \begin{cases} 1 & T_1 < t < T_1 + T \rightarrow |t - T_1| \leq \frac{T}{2} \\ \text{beliebig} & \rightarrow \text{setze} = 0 \end{cases}$$

$$\rightarrow \text{Fouriertransformiert: } \frac{\sin(\dots)}{\dots} * e^{-2\pi i f T_1}$$

$$\omega_{N/2} = e^{-2\pi i / 2} = (e^{-2\pi i / N})^2 = (\omega_N)^2$$

11. Tabellen

$$i = \sqrt{-1} = e^{i\frac{\pi}{2}}$$

$$\tan' x = 1 + \tan^2 x$$

$$\sin^2 x + \cos^2 x = 1$$

$$\cosh^2 x - \sinh^2 x = 1$$

$$\cos(z) = \cos(x) \cosh(y) - i \sin(x) \sinh(y)$$

$$\sin(z) = \sin(x) \cosh(y) + i \cos(x) \sinh(y)$$

Grad	Rad	$\sin \varphi$	$\cos \varphi$	$\tan \varphi$
0°	0	0	1	0
30°	$\frac{1}{6}\pi$	$\frac{1}{2}$	$\frac{\sqrt{3}}{2}$	$\frac{\sqrt{3}}{3}$
45°	$\frac{1}{4}\pi$	$\frac{\sqrt{2}}{2}$	$\frac{\sqrt{2}}{2}$	1
60°	$\frac{1}{3}\pi$	$\frac{\sqrt{3}}{2}$	$\frac{1}{2}$	$\sqrt{3}$
90°	$\frac{1}{2}\pi$	1	0	
120°	$\frac{2}{3}\pi$	$\frac{\sqrt{3}}{2}$	$-\frac{1}{2}$	$-\sqrt{3}$
135°	$\frac{3}{4}\pi$	$\frac{\sqrt{2}}{2}$	$-\frac{\sqrt{2}}{2}$	-1
150°	$\frac{5}{6}\pi$	$\frac{1}{2}$	$-\frac{\sqrt{3}}{2}$	$-\frac{\sqrt{3}}{3}$
180°	π	0	-1	0

Additionstheoreme

$$\sin(\alpha \pm \beta) = \sin \alpha \cos \beta \pm \cos \alpha \sin \beta$$

$$\cos(\alpha \pm \beta) = \cos \alpha \cos \beta \mp \sin \alpha \sin \beta$$

$$\tan(\alpha \pm \beta) = \frac{\tan \alpha \pm \tan \beta}{1 \mp \tan \alpha \tan \beta}$$

Doppelter und halber Winkel

$$\sin 2\varphi = 2 \sin \varphi \cos \varphi \quad \sin^2 \frac{\varphi}{2} = \frac{1}{2}(1 - \cos \varphi)$$

$$\cos 2\varphi = \cos^2 \varphi - \sin^2 \varphi \quad \cos^2 \frac{\varphi}{2} = \frac{1}{2}(1 + \cos \varphi)$$

$$\tan 2\varphi = \frac{2 \tan \varphi}{1 - \tan^2 \varphi} \quad \tan^2 \frac{\varphi}{2} = \frac{1 - \cos \varphi}{1 + \cos \varphi}$$

Umformung einer Summe in ein Produkt

$$\sin \alpha + \sin \beta = 2 \sin \frac{\alpha + \beta}{2} \cos \frac{\alpha - \beta}{2}$$

$$\sin \alpha - \sin \beta = 2 \cos \frac{\alpha + \beta}{2} \sin \frac{\alpha - \beta}{2}$$

$$\cos \alpha + \cos \beta = 2 \cos \frac{\alpha + \beta}{2} \cos \frac{\alpha - \beta}{2}$$

$$\cos \alpha - \cos \beta = -2 \sin \frac{\alpha + \beta}{2} \sin \frac{\alpha - \beta}{2}$$

Umformung eines Produkts in eine Summe

$$2 \sin \alpha \sin \beta = \cos(\alpha - \beta) - \cos(\alpha + \beta)$$

$$2 \cos \alpha \cos \beta = \cos(\alpha - \beta) + \cos(\alpha + \beta)$$

$$2 \sin \alpha \cos \beta = \sin(\alpha - \beta) + \sin(\alpha + \beta)$$

Reihenentwicklungen

$$e^x = 1 + x + \dots = \sum_{k=0}^{\infty} \frac{x^k}{k!}$$

$$\log(1+x) = x - \frac{x^2}{2} + \dots = \sum_{k=1}^{\infty} (-1)^{k-1} \frac{x^k}{k}$$

$$(1+x)^n = 1 + \binom{n}{1}x + \dots = \sum_{k=0}^{\infty} \binom{n}{k} x^k$$

$$\sin x = x - \frac{x^3}{3!} + \dots = \sum_{k=0}^{\infty} (-1)^k \frac{x^{2k+1}}{(2k+1)!}$$

$$\cos x = 1 - \frac{x^2}{2!} + \dots = \sum_{k=0}^{\infty} (-1)^k \frac{x^{2k}}{(2k)!}$$

$$\arctan x = x - \frac{x^3}{3} + \dots = \sum_{k=0}^{\infty} (-1)^k \frac{x^{2k+1}}{2k+1}$$

$$\sinh x = x + \frac{x^3}{3!} + \dots = \sum_{k=0}^{\infty} \frac{x^{2k+1}}{(2k+1)!}$$

$$\cosh x = 1 + \frac{x^2}{2!} + \dots = \sum_{k=0}^{\infty} \frac{x^{2k}}{(2k)!}$$

$$\operatorname{artanh} x = x + \frac{x^3}{3} + \dots = \sum_{k=0}^{\infty} \frac{x^{2k+1}}{2k+1}$$

Summe der ersten n-Zahlen

$$\sum_{k=1}^n k = 1 + 2 + \dots + n = \frac{n(n+1)}{2}$$

Geometrische Reihe

$$\sum_{k=0}^n x^k = 1 + x + \dots + x^n = \frac{1 - x^{n+1}}{1 - x}$$

Fourier-Korrespondenzen

$f(t)$	$\widehat{f}(\omega)$
e^{-at^2}	$\sqrt{\frac{\pi}{a}} e^{\frac{-\omega^2}{4a}}$
$e^{-a t }$	$\frac{2a}{a^2 + \omega^2}$

Eigenschaften der Fourier-Transformation

Eigenschaft	$f(t)$	$\widehat{f}(\omega)$
Linearität	$\lambda f(t) + \mu g(t)$	$\lambda \widehat{f}(\omega) + \mu \widehat{g}(\omega)$
Ähnlichkeit	$f(at) \quad a > 0$	$\frac{1}{ a } \widehat{f}\left(\frac{\omega}{a}\right)$
Verschiebung	$f(t - a)$	$e^{-ai\omega} \widehat{f}(\omega)$
	$e^{ait} f(t)$	$\widehat{f}(\omega - a)$
Ableitung	$f^{(n)}(t)$	$(i\omega)^n \widehat{f}(\omega)$
	$t^n f(t)$	$i^n \widehat{f}^{(n)}(\omega)$
Faltung	$f(t) * g(t)$	$\widehat{f}(\omega) \cdot \widehat{g}(\omega)$

Partialbruchzerlegung (PBZ)

Reelle Nullstellen n-ter Ordnung:

$$\frac{A_1}{(x - a_k)} + \frac{A_2}{(x - a_k)^2} + \dots + \frac{A_n}{(x - a_k)^n}$$

Paar komplexer Nullstellen n-ter Ordnung:

$$\frac{B_1 x + C_1}{(x - a_k)(x - \overline{a_k})} + \dots + \frac{B_n x + C_n}{[(x - a_k)(x - \overline{a_k})]^n} +$$
$$(x - a_k)(x - \overline{a_k}) = (x - Re)^2 + Im^2$$

Laplace- Korrespondenz

$f(t)$	$F(s)$	$f(t)$	$F(s)$
$\sigma(t)$	1	$H(t - a)$	$\frac{1}{s} e^{-as}$
1	$\frac{1}{s}$	e^{at}	$\frac{1}{s - a}$
t	$\frac{1}{s^2}$	te^{at}	$\frac{1}{(s - a)^2}$
t^n	$\frac{n!}{s^{n+1}}$	$t^n e^{at}$	$\frac{n!}{(s - a)^{n+1}}$
$\sin(at)$	$\frac{a}{s^2 + a^2}$	$\sinh(at)$	$\frac{a}{s^2 - a^2}$
$\cos(at)$	$\frac{s}{s^2 + a^2}$	$\cosh(at)$	$\frac{s}{s^2 - a^2}$

Eigenschaften der Laplace-Transformation

Eigenschaft	$f(t)$	$F(s)$
Linearität	$\lambda f(t) + \mu g(t)$	$\lambda F(s) + \mu G(s)$
Ähnlichkeit	$f(at) \quad a > 0$	$\frac{1}{a} F\left(\frac{s}{a}\right)$
Verschiebung im Zeitbereich	$f(t - t_0)$	$e^{-st_0} F(s)$
Verschiebung im Bildbereich	$e^{-at} f(t)$	$F(s + a)$
Ableitung im Zeitbereich	$f'(t)$	$sF(s) - f(0)$
	$f''(t)$	$s^2 F(s) - sf(0) - f'(0)$
	$f^{(n)}(t)$	$s^n F(s) - \sum_{k=0}^{n-1} f^{(k)}(0) s^{n-k-1}$
Ableitung im Bildbereich	$-tf(t)$	$F'(s)$
	$t^2 f(t)$	$F''(s)$
	$(-t)^n f(t)$	$F^{(n)}(s)$
Integration im Zeitbereich	$\int_0^t f(u) du$	$\frac{1}{s} F(s)$
Integration im Bildbereich	$\frac{1}{t} f(t)$	$\int_s^\infty F(u) du$
Faltung	$f(t) * g(t)$	$F(s) \cdot G(s)$
Periodische Funktion	$f(t) = f(t + T)$	$\frac{1}{1 - e^{-sT}} \int_0^T f(t) e^{-st} dt$

Winkel - Werte

Grad	Rad	$\sin \varphi$	$\cos \varphi$	$\tan \varphi$
0°	0	0	1	0
30°	$\frac{1}{6} \pi$	$\frac{1}{2}$	$\frac{\sqrt{3}}{2}$	$\frac{\sqrt{3}}{3}$
45°	$\frac{1}{4} \pi$	$\frac{\sqrt{2}}{2}$	$\frac{\sqrt{2}}{2}$	1
60°	$\frac{1}{3} \pi$	$\frac{\sqrt{3}}{2}$	$\frac{1}{2}$	$\sqrt{3}$
90°	$\frac{1}{2} \pi$	1	0	
120°	$\frac{2}{3} \pi$	$\frac{\sqrt{3}}{2}$	$-\frac{1}{2}$	$-\sqrt{3}$
135°	$\frac{3}{4} \pi$	$\frac{\sqrt{2}}{2}$	$-\frac{\sqrt{2}}{2}$	-1
150°	$\frac{5}{6} \pi$	$\frac{1}{2}$	$-\frac{\sqrt{3}}{2}$	$-\frac{\sqrt{3}}{3}$
180°	π	0	-1	0

Ableitungen

Potenz- und Exponentialfunktionen			Trigonometrische Funktionen		Hyperbolische Funktionen	
$f(x)$	$f'(x)$	Bedingung	$f(x)$	$f'(x)$	$f(x)$	$f'(x)$
x^n	nx^{n-1}	$n \in \mathbb{Z}_{\geq 0}$	$\sin x$	$\cos x$	$\sinh x$	$\cosh x$
x^n	nx^{n-1}	$n \in \mathbb{Z}_{<0}, x \neq 0$	$\cos x$	$-\sin x$	$\cosh x$	$\sinh x$
x^a	ax^{a-1}	$a \in \mathbb{R}, x > 0$	$\tan x$	$\frac{1}{\cos^2 x}$	$\tanh x$	$\frac{1}{\cosh^2 x}$
$\log x$	$\frac{1}{x}$	$x > 0$	$\arcsin x$	$\frac{1}{\sqrt{1-x^2}}$	$\operatorname{arsinh} x$	$\frac{1}{\sqrt{x^2+1}}$
e^x	e^x		$\arccos x$	$-\frac{1}{\sqrt{1-x^2}}$	$\operatorname{arcosh} x$	$\frac{1}{\sqrt{x^2-1}}$
a^x	$a^x \cdot \log a$	$a > 0$	$\arctan x$	$\frac{1}{1+x^2}$	$\operatorname{artanh} x$	$\frac{1}{1-x^2}$

Stammfunktionen

$f(x)$	$F(x)$	Bedingung	$f(x)$	$F(x)$	$f(x)$	$F(x)$
x^n	$\frac{1}{n+1}x^{n+1}$	$n \in \mathbb{Z}_{\geq 0}$	$\frac{1}{x}$	$\log x $	$\sin(\omega t) \sin(\omega t)$	$\frac{t}{2} - \frac{\sin(2\omega t)}{4\omega}$
x^n	$\frac{1}{n+1}x^{n+1}$	$n \in \mathbb{Z}_{\leq -2}, x \neq 0$	$\tan x$	$-\log \cos x $	$\sin(\omega t) \cos(\omega t)$	$-\frac{\cos(2\omega t)}{4\omega}$
x^a	$\frac{1}{a+1}x^{a+1}$	$a \in \mathbb{R}, a \neq -1, x > 0$	$\tanh x$	$\log(\cosh x)$	$\sin(\omega t) \sin(n\omega t)$	$\frac{n \cos(\omega t) \sin(n\omega t) - \sin(\omega t) \cos(n\omega t)}{\omega(n^2-1)}$
$\log x$	$x \log x - x$	$x > 0$	$\sin^2 x$	$\frac{1}{2}(x - \sin x \cos x)$	$\sin(\omega t) \cos(n\omega t)$	$\frac{n \sin(\omega t) \sin(n\omega t) + \cos(\omega t) \cos(n\omega t)}{\omega(n^2-1)}$
e^{ax}	$\frac{1}{a}e^{ax}$	$a \neq 0$	$\cos^2 x$	$\frac{1}{2}(x + \sin x \cos x)$	$\cos(\omega t) \sin(n\omega t)$	$\frac{\sin(\omega t) \sin(n\omega t) + n \cos(\omega t) \cos(n\omega t)}{\omega(1-n^2)}$
a^x	$\frac{a^x}{\log a}$	$a > 0, a \neq 1$	$\tan^2 x$	$\tan x - x$	$\cos(\omega t) \cos(n\omega t)$	$\frac{\sin(\omega t) \cos(n\omega t) + n \cos(\omega t) \sin(n\omega t)}{\omega(1-n^2)}$

Standard-Substitutionen

Integral	Substitution	Ableitung	Bemerkung
$\int f(x, x^2 + 1) dx$	$x = \tan t$	$dx = \tan^2 t + 1 dt$	$t \in \bigcup_{k \in \mathbb{Z}} (k\pi - \frac{\pi}{2}, k\pi + \frac{\pi}{2})$
$\int f(x, \sqrt{ax+b}) dx$	$x = \frac{t^2-b}{a}$	$dx = \frac{2}{a}t dt$	$t \geq 0$
$\int f(x, \sqrt{ax^2+bx+c}) dx$	$x + \frac{b}{2a} = t$	$dx = dt$	$t \in \mathbb{R}$, quadratische Ergänzung
$\int f(x, \sqrt{a^2-x^2}) dx$	$x = a \sin t$	$dx = a \cos t dt$	$-\frac{\pi}{2} < t < \frac{\pi}{2}, 1 - \sin^2 x = \cos^2 x$
$\int f(x, \sqrt{a^2+x^2}) dx$	$x = a \sinh t$	$dx = a \cosh t dt$	$t \in \mathbb{R}, 1 + \sinh^2 x = \cosh^2 x$
$\int f(x, \sqrt{x^2-a^2}) dx$	$x = a \cosh t$	$dx = a \sinh t dt$	$t \geq 0, \cosh^2 x - 1 = \sinh^2 x$
$\int f(e^x, \sinh x, \cosh x) dx$	$e^x = t$	$dx = \frac{1}{t} dt$	$t > 0, \sinh x = \frac{t^2-1}{2t}, \cosh x = \frac{t^2+1}{2t}$
$\int f(\sin x, \cos x) dx$	$\tan \frac{x}{2} = t$	$dx = \frac{2}{1+t^2} dt$	$-\frac{\pi}{2} < t < \frac{\pi}{2}, \sin x = \frac{2t}{1+t^2}, \cos x = \frac{1-t^2}{1+t^2}$